

宮崎大学工学部 正会員 石黒政儀
宮崎大学工学部 学生員 ○植田薰
宮崎大学工学部 学生員 松岡慶二

1 はしがき 都市下水道および各種排水計画において基本的問題の1つとして降雨と流出の水文学的問題がある。本文は昭和40年度から宮崎大学工学部構内で降雨と流出の実測を重ねつて研究が続けられたオア報である。特に本報では昭和42年より観測を行なっている1分ごと測定の降雨強度計による実測降雨記録300降雨を基礎資料として降雨の時間的変動すなわちハイエトグラフについて、降雨の周期的な変動を加味できる周期関数にて表示し、実際の降雨強度変動に適用し、降雨の原因別特性（例えば、台風、低気圧、雷雨）をも明らかにして実際の設計降雨に適用せんとするものである。本文では降雨の時間的变化に、周期性を考慮し次式で示す。 $P(t) = A + B \cos \omega t + C \sin \omega t$ ただし $\omega = \frac{2\pi}{T_0}$ T_0 は周期、A,B,Cは定数。各降雨特性から係数値を見出し、流出解析の Δq_{input} として用いる。例えばラショナル式では、 $Q(t) = \frac{L}{T} \int P(t-\tau) d\tau$ ただし、Q:流量、T:流達時間、L:流達長、τ:遅滞時間 $Q(t) = \frac{L}{T} \int [A + B \cos \omega(t-\tau) + C \sin \omega(t-\tau)] d\tau = L \left(\sin \frac{\omega t}{2} / \frac{\omega}{2} \right) \{B \cos \omega(t - \frac{T}{2}) + C \sin \omega(t - \frac{T}{2})\} + AL$ として流量が計算されハイドログラフの算定もより合理的となる。

2 周期解析の理論と計算式 [1] ピリオドグラムによる周期検出法 降雨現象のようなランダムに変動する時系列において最も顕著に現われる変動の周期検出法としてピリオドグラムを用いる。計算手順は、(1)原系列(実測値)を任意の個数T個ずつ区切って得た行列の各列について平均値を求め、この値からなる新系列 $\bar{x}(t)$ を作る。これを次式の周期関数で示す。

$$\bar{x}(t) = A + B \cos \frac{2\pi}{T} t + C \sin \frac{2\pi}{T} t \quad \dots \text{①}$$
(2)式①にフーリエ解析を適用し係数B,Cおよび \bar{x} (振幅の2乗)を次式で求め

$$A \text{ は実測の平均値である. } B = \frac{2}{T} \int x(t) \cos \frac{2\pi}{T} t dt \quad \dots \text{②}$$

(3) \bar{U} の値を縦軸、周期 T を横軸にとりピリオドグラムを作る。ここで

$X(t) = A \cos(2\pi f t + \delta)$ (f:周波数) である変動波のスペクトル密度は、

$S(f) = 4 \int R(t) \cos 2\pi f t dt$ ……⑤となる。自己相關関数 $R(t)$ は、

$R(t) = \frac{C}{2} \cos 2\pi f t$ より、式⑤は、 $S(f) = \alpha^2 \int_{-\infty}^{\infty} \cos^2 2\pi f t dt = \frac{\alpha^2}{f}$ となる

²は¹に相当するから¹が極大となる¹が、原系列の中で顕著に現

る変動の周期である。図2に昭和45年7月4日の降雨を実例として示す。

[2] 移動平均法による長周期検出 不規則性変動する合成波は長周期変動

短周期変動 ランダム変動の3成分からなる 二の不規則合成変動から

う：ダル変動 長周期変動を除去する方法

$$x(t) = A \sin(\omega t + \phi) = B \cos(\frac{2\pi}{T}t + C) \sin(\frac{2\pi}{T}t) \dots \text{⑥}$$

① $\bar{M} = (2m+1)$ 項の移動平均値(2分)は次式で表される

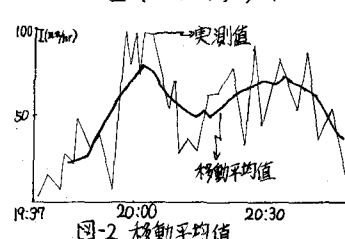
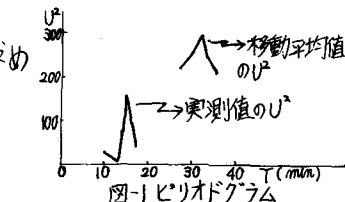
$$g(t) = \frac{1}{n} \sum_{k=1}^n a_k \sin\{\varphi_k(t+\xi) + \psi_k\} \quad (k=1, 2, \dots, n) \quad (7)$$

上式第2項は振幅の線密度であり、 Ψ_1 の振幅と Ψ_2 の

上式の2項は振幅吸収率(α)、他の振幅 β の比を表わし、2項は次のようにならざるか?

振幅で以此て表れ、又上項の手順で長周期は検出される

この段階で運動式(4)は既に実現可能である。すなはち運動式(4)は、運動式(1)の子孫である。



$$\begin{aligned} & \text{するために次の移動平均法を用いる。} \\ * \quad & \sin \frac{m+1}{2} k = \sin \frac{m+1}{2} k \cos \frac{m}{2} k + \cos \frac{m+1}{2} k \sin \frac{m}{2} k \\ & \sin \frac{m+1}{2} k (\sin \frac{k}{2})^t \quad (m=2m+1) \\ = & \sin \frac{m+1}{2} k \cos \frac{m}{2} k (\sin \frac{k}{2})^t + \cos \frac{m+1}{2} k \sin \frac{m}{2} k (\sin \frac{k}{2})^t \dots ⑧ \\ \text{ここで} \quad & \sum_{k=1}^{\infty} \cos m k = \sin \frac{m+1}{2} k \cos \frac{m}{2} k (\sin \frac{k}{2})^t \\ & \sum_{k=1}^{\infty} \cos m k = \cos \frac{m+1}{2} k \sin \frac{m}{2} k (\sin \frac{k}{2})^t \end{aligned}$$

これらより、振幅収縮率は次式となる。

$$\frac{1}{m} \sin \frac{\alpha k}{2} (\sin \frac{\beta}{2})^{-1} = \frac{1}{m} \left\{ \sum_{k=1}^m \cos(\alpha k) + \sum_{k=1}^m \cos(\beta k) \right\} = \frac{1}{m} \left\{ 1 + 2 \sum_{k=1}^m \cos(\alpha k) \right\}$$

る (Bは式②、Cは式③)。[2]で求めたB,C'は振幅収縮率により補正しなければならない。また短周期変動*I_s(t)*と長周期変動*I_l(t)*の合成波は次式で示される。 $I_{\text{sum}}(t) = I_s(t) + I_l(t) + A \dots \text{⑪}$ ただし $I_s(t) = B \cos \frac{2\pi}{T_s} t + C \sin \frac{2\pi}{T_s} t \dots \text{⑫}$

$$I_s(t) = B_2 \cos \frac{2\pi}{T_s} t + C_2 \sin \frac{2\pi}{T_s} t \dots \text{⑬}$$

A:資料の平均値、 T_s, T_l :周期(分)、 t :継続時間(分)、上記の理論および諸式を適用して降雨強度変動における周期検出と降雨強度変動式の算定を次の手順で行なう。手順1: ピリオドグラムによる短周期(T_s)の検出 手順2: T_s除去のためT_s項の移動平均を行ない、[2]の手順で長周期(I_l)とその変動式I_{l'(t)}の算定 手順3: 原系列(実測値)より長周期変動I_{l'(t)}を減じ、さらに移動平均を行ないランダム変動の除去、この系列から[1]より短周期変動式I_{s(t)}の算定 手順4: I_{s(t)}とI_{l'(t)}を合成し式(⑩)ハイエトグラフ(I_{h(t)})を算定する。

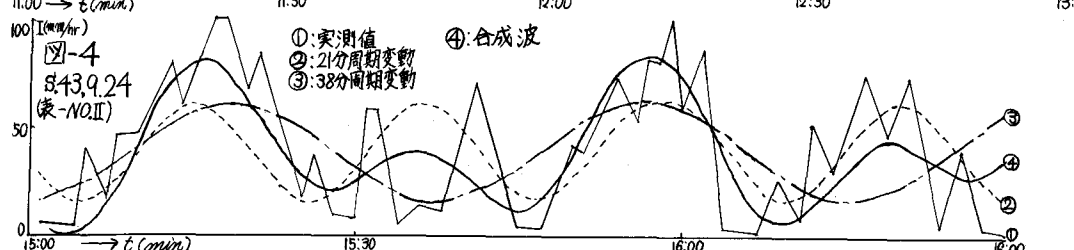
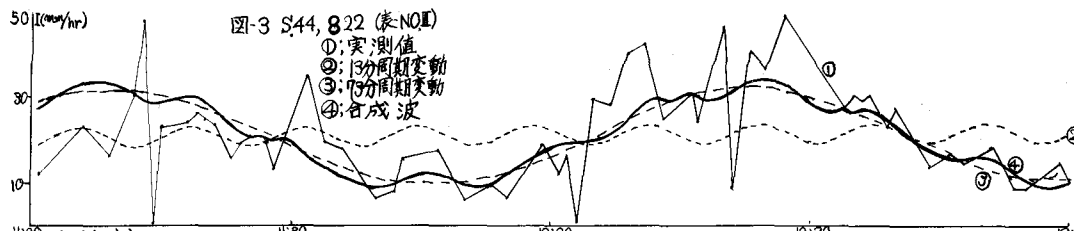
3 実測降雨への適用とその結果 2の理論式と手順を用い宮大工学部にて観測された1分毎連續降雨強度記録によりまず台風性降雨を解析する。台風性降雨は進路により地点雨量が異なるので、宮崎市の雨量に対し台風が通過した後路で4種に分類し、その解析結果を表に示す。

No	台風の進路	短周期	長周期	短周期変動式: I _{s(t)}	長周期変動式: I _{l(t)}	合成式: I _{h(t)}
I	九州西方海上北上	20分		$I_s(t) = 303.2 \cos 0.003\pi t + 14.6 \sin 0.003\pi t$		
II	南九州上陸北上	21分	38分	$I_s(t) = 38.2 - 21.000 \cos \frac{2\pi}{38} t + 17.4 \sin \frac{2\pi}{38} t$	$I_l(t) = 38.2 - 21.400 \cos \frac{2\pi}{21} t + 21.4 \sin \frac{2\pi}{21} t$	$I_{\text{sum}}(t) = I_s(t) + I_l(t) + 38.2$
III	宮崎市を通過	13分	73分	$I_s(t) = 21.0 H_2 C \cos \frac{2\pi}{73} t + 17.4 \sin \frac{2\pi}{73} t$	$I_l(t) = 21.0 + 0.6 C_0 \cos \frac{2\pi}{13} t + 21.4 \sin \frac{2\pi}{13} t$	$I_{\text{sum}}(t) = I_s(t) + I_l(t) + 21.0$
IV	九州東方海上北上	15分	32分	$I_s(t) = 48.6 - 4.000 \cos \frac{2\pi}{32} t + 0.4 \sin \frac{2\pi}{32} t$	$I_l(t) = 48.6 - 24.300 \cos \frac{2\pi}{15} t + 23.3 \sin \frac{2\pi}{15} t$	$I_{\text{sum}}(t) = I_s(t) + I_l(t) + 48.6$

備考: I: S45.8.14 台風9号 降雨資料継続時間50分 II: S43.9.24 台風16号(3号宮古島台風)降雨資料継続時間90分

III: S41.8.22 台風10号 降雨資料継続時間12分 IV: S45.7.4 台風12号 降雨資料継続時間80分

ピリオドグラムと移動平均法を適用したハイエトグラフ算定例として、昭和44年8月22日台風9号、昭和43年9月24日台風16号(オホ宮古島台風)を図-3・4に示す。短周期波、長周期波およびこれらの合成波は、実測資料と適合度が高く、降雨強度の周期変動をよく表示していると思われる。



4 むすび 本文ではハイエトグラフ表現法の1つとして周期関数表示を提倡し、特に台風性降雨について1分間観測資料より解析した結果、強雨時には10~20分間の短周期があり、さらに30分以上の長周期があることが判明し、今後の流出解析法の設計降雨決定に対し1つの指針が与えられた。しかし本文では台風性降雨の各進路について1降雨のみの結果であり、さらに多くの台風について解析を行なえばより一般的な結果が得られると考える。また、台風性降雨のみならず、低気圧、雷雨などについて解析を行ない、発生原因別の周期特性を追求し、設計ハイエトグラフの合理化を進めるため、以下検討中であり、これらについては講演時に述べる。

参考文献 1)石黒、岡田:広瀬下道(雨の実測的研究)(報文)土木学会西部支部分科研究委員会文集1967.1 2)石黒、上原、佐藤同上(第2報)同1968.1 3)石黒、伊藤、本山同上(付報)同1969.2 4)石黒、内藤、上田、中川(付報)同1971.2 5)石黒、久徳、田中同上(付報)同1972.2 6)石黒、田中、木村同上(付報)同1973.2 7)石黒、ハイエトグラフなどの特性に関する研究、土木学会論文集第115号1968.7 8)岩井、石黒:応用水文統計学(森北出版)1971年版 9)国野裕也:年雨量の変動について、発電水力10.4.1(1959.9) 10)堀川明:降雨変動の解析(立正出版)1973年版 11)鈴木忠一:気象統計学(人書館)1970年版 12)石黒卯吉:相關函数(アカデミック・ペブル)大蔵出版社1973年版 13)石黒、木村:台風性降雨の統計的予測法(水道協会誌)1971年号